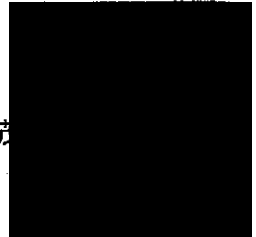


九州厚生局長 殿

開設者名 国立大学法人
長崎大学長 片峰 茂



長崎大学病院の業務に関する報告について

標記について、医療法（昭和 23 年法律第 205 号）第 12 条の 3 の規定に基づき、平成 21 年度の業務に関して報告します。

記

- 1 高度の医療の提供の実績 → 別紙参照(様式第 10)
- 2 高度の医療技術の開発及び評価の実績 → 別紙参照(様式第 11)
- 3 高度の医療に関する研修の実績

研修医の人数	72.58 人
--------	---------

(注) 前年度の研修医の実数を記入すること。

- 4 診療並びに病院の管理及び運営に関する諸記録の体系的な管理方法 → 別紙参照(様式第 12)
- 5 診療並びに病院の管理及び運営に関する諸記録の閲覧方法及び閲覧の実績
- 6 他の病院又は診療所から紹介された患者に対する医療提供の実績 → 別紙参照(様式第 13)
- 7 医師、歯科医師、薬剤師、看護師及び准看護師、管理栄養士その他の従業者の員数

職種	常勤	非常勤	合計	職種	員数	職種	員数
医師	256人	266人	515.72人	看護補助者	23人	診療エックス線技師	0人
歯科医師	103人	74人	177.0人	理学療法士	14人	臨床検査技師	50人
薬剤師	29人	7人	36.0人	作業療法士	4人	衛生検査技師	0人
保健師	0人	0人	0.0人	視能訓練士	5人	その他	6人
助産師	23人	0人	23.0人	義肢装具士	0人	あん摩マッサージ指圧師	0人
看護師	710人	21人	726.0人	臨床工学技士	9人	医療社会事業従事者	0人
准看護師	0人	0人	0.0人	栄養士	2人	その他の技術員	3人
歯科衛生士	7人	7人	14.0人	歯科技工士	5人	事務職員	188人
管理栄養士	5人	8人	13.0人	診療放射線技師	33人	その他の職員	42人

- (注) 1 報告を行う当該年度の 10 月 1 日現在の員数を記入すること。
- 2 栄養士の員数には、管理栄養士の員数は含めないで記入すること。
- 3 「合計」欄には、非常勤の者を当該病院の常勤の従事者の通常の勤務時間により常勤換算した員数と常勤の者の員数の合計を小数点以下 2 位を切り捨て、小数点以下 1 位まで算出して記入すること。それ以外の欄には、それぞれの員数の単純合計員数を記入すること。

- 8 入院患者、外来患者及び調剤の数
 歯科、矯正歯科、小児歯科及び歯科口腔外科の入院患者及び外来患者の数

	歯科等以外	歯科等	合計
1日当たり平均入院患者数	680人	20人	700人
1日当たり平均外来患者数	1,158人	443人	1,601人
1日当たり平均調剤数	2468剤		

- (注) 1 「歯科等」欄には、歯科、矯正歯科、小児歯科及び歯科口腔外科を受診した患者数を、「歯科等以外」欄にはそれ以外の診療科を受診した患者数を記入すること。
- 2 入院患者数は、年間の各科別の入院患者延数(毎日の 24 時現在の在院患者数の合計)を暦日で除した数を記入すること。
- 3 外来患者数は、年間の各科別の外来患者延数をそれぞれ病院の年間の実外来診療日数で除した数を記入すること。
- 4 調剤数は、年間の入院及び外来別の調剤延数をそれぞれ暦日及び実外来診療日数で除した数を記入すること。



高度の医療の提供の実績

3 その他の高度の医療

医療技術名	硬膜外内視鏡手術	取扱患者数	7人
当該医療技術の概要 難治性腰下肢痛患者に対する、疼痛緩和手技。局所麻酔下、腹臥位にて仙骨裂孔より専用のカメラを硬膜外腔へ挿入し、生理食塩水を用いて病変部位と思われる周辺の組織を洗浄する。			
医療技術名	胸腔鏡下胸部交感神経切除術	取扱患者数	4人
当該医療技術の概要 多汗症患者(手指に多くの汗をかく症例)に対する手術。全身麻酔下に片肺換気を施行して、胸腔鏡を用いて目的とする胸部交感神経節を1分節ないし2分節、破壊する。			
医療技術名	高周波熱凝固術(三叉神経)	取扱患者数	24人
当該医療技術の概要 難治性三叉神経痛患者に対する、疼痛緩和手技。局所麻酔下にエックス線透視下に目的とする神経の頭蓋骨からの出口周辺にブロック専用の針を挿入し、高周波熱凝固を使用し神経を破壊する。			
医療技術名	高周波熱凝固術(後枝内側枝)	取扱患者数	21人
当該医療技術の概要 難治性腰背部痛患者に対する、疼痛緩和手技。局所麻酔下にエックス線透視下に目的とする神経の周辺にブロック専用の針を挿入し、高周波熱凝固を使用し神経を破壊する。			
医療技術名	高周波熱凝固術(肋間神経)	取扱患者数	5人
当該医療技術の概要 難治性胸部痛患者に対する、疼痛緩和手技。局所麻酔下にエックス線透視下に目的とする神経の周辺にブロック専用の針を挿入し、高周波熱凝固を使用し神経を破壊する。			
医療技術名	自家脂肪幹細胞移植術	取扱患者数	7人
当該医療技術の概要 患者より採取し精製した脂肪幹細胞を放射線潰瘍部やHIVリポジトローフィー患者に移植し、潰瘍部の閉鎖やリポジトローフィーの整容的改善を行った。			
医療技術名	腹腔鏡補助下腓体尾部切除又は核出術	取扱患者数	11人
当該医療技術の概要 膵臓癌、膵良性腫瘍に対して膵臓の体尾部を切除する手術。腹腔鏡で行うことにより低侵襲な手術が可能となる。			
医療技術名	腹腔鏡下直腸固定術	取扱患者数	2人
当該医療技術の概要 直腸脱の患者に対して、直腸を仙骨部に固定する手術。腹腔鏡で行うことにより低侵襲な手術が可能となる。			
医療技術名	輸入眼科用ステロイド(トリエッセンス)を使用した網膜硝子体手術	取扱患者数	25人
当該医療技術の概要 トリエッセンスは、防腐剤の入っていない眼科用のトリアムシロンであり、網膜硝子体手術中の硝子体可視化のために使用することにより、手術をより確実に施行することができる。			
医療技術名	糖尿病網膜症・網膜血管閉塞症に対する抗VEGF抗体の硝子体内注射	取扱患者数	120人
当該医療技術の概要 抗VEGF抗体であるアバスタンを硝子体内に投与することにより、糖尿病網膜症や網膜血管閉塞症において硝子体内に増加する血管内皮増殖因子(VEGF)を抑制し、血管新生や血管透過性亢進を抑え、黄斑浮腫の改善や血管増殖の抑制をすることができる。			
医療技術名	修正型電気けいれん療法	取扱患者数	2人
当該医療技術の概要 麻酔科との連携で、麻酔薬、筋弛緩薬を併用したパルス波による電気けいれん療法。			

(注) 当該医療機関において高度の医療と判断するものが他にあれば、前年度の実績を記入すること。

高度の医療の提供の実績

3 その他の高度の医療

医療技術名	子宮鏡・腹腔鏡手術	取扱患者数	121人
当該医療技術の概要 腹腔鏡手術で子宮・付属器を摘出する。開腹手術と比較して低侵襲である。			
医療技術名	羊水検査・絨毛採取	取扱患者数	53人
当該医療技術の概要 出生前に羊水染色体検査あるいは遺伝子検査のために行う高度医療技術である。			
医療技術名	胎児胸水・腹水除去術	取扱患者数	5人
当該医療技術の概要 胎児の胸水および腹水を除去する胎内治療である。			
医療技術名	術中超音波検査(前置胎盤・帝王切開術後創部妊娠など)	取扱患者数	10人
当該医療技術の概要 あるいは帝王切開術後創部妊娠などで本検査を用いて術中に癒着胎盤の有無を評価する。			
医療技術名	羊水除去術	取扱患者数	3人
当該医療技術の概要 羊水過多症の羊水を除去して切迫早産を治療する。			
医療技術名	胎児心エコー検査	取扱患者数	254人
当該医療技術の概要 出生前に胎児の不整脈あるいは心奇形を診断し、胎児治療あるいは出生後の治療と連携			
医療技術名		取扱患者数	人
当該医療技術の概要			
医療技術名		取扱患者数	人
当該医療技術の概要			

(注) 当該医療機関において高度の医療と判断するものが他にあれば、前年度の実績を記入すること。

高度の医療の提供の実績

4 特定疾患治療研究事業対象疾患についての診療

疾 患 名	取扱患者数	疾 患 名	取扱患者数
・ペーチェット病	52人	・膿疱性乾癬	4人
・多発性硬化症	39人	・広範脊柱管狭窄症	0人
・重症筋無力症	77人	・原発性胆汁性肝硬変	50人
・全身性エリテマトーデス	241人	・重症急性膵炎	6人
・スモン	0人	・特発性大腿骨頭壊死症	59人
・再生不良性貧血	32人	・混合性結合組織病	50人
・サルコイドーシス	78人	・原発性免疫不全症候群	4人
・筋萎縮性側索硬化症	9人	・特発性間質性肺炎	22人
・強皮症、皮膚筋炎及び多発性筋炎	227人	・網膜色素変性症	17人
・特発性血小板減少性紫斑病	64人	・プリオン病	1人
・結節性動脈周囲炎	29人	・肺動脈性肺高血圧症	7人
・潰瘍性大腸炎	123人	・神経線維腫症	30人
・大動脈炎症候群	34人	・亜急性硬化性全脳炎	0人
・ピュルガー病	8人	・バッド・キアリ(Budd-Chiari)症候群	3人
・天疱瘡	17人	・慢性血栓性肺高血圧症	9人
・脊髄小脳変性症	24人	・ライゾゾーム病	3人
・クローン病	97人	・副腎白質ジストロフィー	1人
・難治性の肝炎のうち劇症肝炎	5人	・家族性高コレステロール血症(ホモ接合体)	1人
・悪性関節リウマチ	36人	・脊髄性筋委縮症	0人
・パーキンソン病関連疾患(進行性核上性麻痺、 大脳皮質基底核変性症及びパーキンソン病)	38人	・球脊髄性筋委縮症	3人
・アミロイドーシス	4人	・慢性炎症性脱髄性多発神経炎	6人
・後縦靭帯骨化症	35人	・肥大型心筋症	5人
・ハンチントン病	1人	・拘束型心筋症	1人
・モヤモヤ病(ウイリス動脈輪閉塞症)	47人	・ミトコンドリア病	4人
・ウェゲナー肉芽腫症	9人	・リンパ脈管筋腫症(LAM)	5人
・特発性拡張型(うっ血型)心筋症	56人	・重症多形滲出性紅斑(急性期)	0人
・多系統萎縮症(線条体黒質変性症、オリブ橋 小脳萎縮症及びシャイ・ドレーガー症候群)	13人	・黄色靭帯骨化症	1人
・表皮水疱症(接合部型及び栄養障害型)	4人	・間脳下垂体機能障害 (PRL分泌異常症、ゴナドトロピン分泌異常症、ADH 分泌異常症、下垂体性TSH分泌異常症、クッシング病、 先端巨大症、下垂体機能低下症)	21人

(注) 「取扱患者数」欄には、前年度の年間実患者数を記入すること。

高度の医療技術の開発及び評価の実績

研究課題名	研究者氏名	所属部門	金額	補助元又は委託元
抗リウマチ薬の時間薬物療法確立	藤秀人	薬剤部	9,000,000	(補委) 厚生労働省
アポトーシス細胞の食食除去に着目した肺気腫の新しい治療戦略	森本浩之輔	熱研内科	2,210,000	(補委) 日本学術振興会
HIV関連Lipodystrophyの克服に向けて	秋田定伯	形成外科	24,450,000円	(補委) 厚生労働省
間葉系幹細胞と発生学を考慮した頭蓋顔面再生	平野明喜	形成外科	7,450,000円	(補委) 日本学術振興会
プリオン病2次感染に対する現実的滅菌法の開発研究	秋田定伯	形成外科	1,000,000円	(補委) 厚生労働省
頸動脈プラークの不安定性の診断と安定化の試み	永田 泉	脳神経外科	1,200,000	(補委) 日本学術振興会
血管原性脳浮腫の研究 :血液脳関門の観点から	林 健太郎	脳神経外科	1,500,000	(補委) 文部科学省
神経膠芽腫の薬剤耐性を誘導するマイクロRNAの探索および機能解析	鎌田健作	脳神経外科	1,050,000	(補委) 日本学術振興会
組織プラスミンノーゲンアクチベーター・ビクバスタチンの血液脳関門に与える影響	宗 剛平	脳神経外科	1,400,000	(補委) 文部科学省
日和見感染症の診断/治療およびそれを端緒とするHIV感染者の早期発見に関する研究(代表)	安岡 彰	感染制御教育センター	24,976,000	(補委) 厚生労働省
HAARTの長期的副作用対策・長期予後に関する研究(分担)	安岡 彰	感染制御教育センター	3,000,000	(補委) 厚生労働省
水チャンネル・アクアポリンの血管新生眼疾患への関与	北岡 隆	眼科	2,210,000	(補委) 日本学術振興会
血管安定化因子制御による糖尿病黄斑浮腫の治療開発	鈴間 潔	眼科	1,690,000	(補委) 日本学術振興会
偽落屑症候群の分子遺伝学的解析	山田浩喜	眼科	1,300,000	(補委) 文部科学省
新しい角膜傷害診断機の開発	上松聖典	眼科	2,600,000	(補委) 文部科学省
創傷治癒における、セレクチンとそのリガンドの関与	佐藤伸一	皮膚科	1,500,000	(補委) 日本学術振興会
免疫複合体病における治療ターゲットとしての活性酸素種及びNO, Co, H2Sの解析	清水和宏	皮膚科	1,400,000	(補委) 日本学術振興会
アトピー性皮膚炎の痒みの発生機序の解明と新規治療法の開発	竹中 基	皮膚科	1,600,000	(補委) 日本学術振興会
強皮症モデルマウスにおける皮膚硬化に対する硫化水素による抗酸化療法の検討	室井栄治	皮膚科	1,500,000	(補委) 文部科学省
免疫複合体病における治療ターゲットとしての血小板および接着因子の解析	原 肇秀	皮膚科	1,700,000	(補委) 文部科学省
プレオマイシン誘発強皮症モデルマウスにおける細胞接着分子の解析	吉崎 歩	皮膚科	1,700,000	(補委) 文部科学省
食品を介したダイオキシン類等の人体への影響の把握とその治療法の開発等に関する研究	佐藤伸一	皮膚科	5,500,000	(補委) 厚生労働省
強皮症における病因解明と根治的治療法の開発	佐藤伸一	皮膚科	18,000,000	(補委) 厚生労働省
統合失調症の未治療期間とその予後に関する疫学的研究	小澤寛樹	精神科神経科	1,300,000	(補委) 厚生労働省
「思春期精神病理の疫学と精神疾患の早期介入方策に関する研究」	今村 明	精神科神経科	600,000	(補委) 厚生労働省
「思春期精神病理の疫学と精神疾患の早期介入方策に関する研究」	小澤寛樹	精神科神経科	600,000	(補委) 厚生労働省
「発作性運動誘発性舞蹈アトローゼ(PKC)の有効治療薬開発のための分子メカニズムの解明」	黒滝直弘	精神科神経科	14,000,000	(補委) 厚生労働省
歯髄幹細胞を用いた象牙質・歯髄再生による新しい蝕・歯髄炎治療法の実用化	林 善彦	虫歯治療室	30,555,000	(補委) 厚生労働省

研究課題名	研究者氏名	所属部門	金額	補助元又は委託元
免疫アレルギー疾患等予防・治療研究事業 関節リウマチの早期診断による発症及び重症化予防	江口勝美	第一内科	44,200,000	補委 厚生労働省
免疫アレルギー疾患等予防・治療研究事業(分担) 関節リウマチの寛解導入療法体系化に関する研究	川上 純	第一内科	2,500,000	補委 厚生労働省
治験推進研究事業 多発性筋炎・皮膚筋炎に合併する間質性肺炎に対するタクロリムスの治験	川上 純	第一内科	2,650,000	補委 厚生労働省
難治性疾患克服研究事業(分担) 高VEGF血症を特徴とするRS3PE症候群関連新疾患概念の確立と普及	川上 純	第一内科	100,000	補委 厚生労働省
こころの健康科学研究事業(分担) HTLV-Iの生体内感染拡大機序の解明とその制御によるHAM治療法の開発	中村龍文	第一内科	1,000,000	補委 厚生労働省
難治性疾患克服研究事業(分担) HTLV-I関連脊髄症(HAM)患者データベースと検体バンクの確立による関東の研究拠点機関形成	中村龍文	第一内科	500,000	補委 厚生労働省
難治性疾患克服研究事業 重症筋無力気症の前進臨床研究と生体試料バンクの構築	本村政勝	第一内科	5,000,000	補委 厚生労働省
難治性疾患克服研究事業(分担) 免疫性神経疾患に関する調査研究	本村政勝	第一内科	2,200,000	補委 厚生労働省
難治性疾患克服研究事業(分担) 本邦における家族性地中海熱の実態調査	井田弘明	第一内科	1,000,000	補委 厚生労働省
難治性疾患克服研究事業(分担) 中條-西村症候群の疾患概念の確立と病態解明へのアプローチ	井田弘明	第一内科	6,000,000	補委 厚生労働省
厚生労働科学研究費補助金 治験推進研究事業・TAP-144-SR(3M)の球脊髄性筋萎縮症患者に対する第Ⅲ相試験(長期継続投与試験)	辻野 彰	第一内科	2,500,000	補委 厚生労働省
難病疾患対策事業(分担) プリオン病に対する診断・治療技術開発に関する研究	佐藤克也	第一内科	2,000,000	補委 厚生労働省
ヒトパピローマウイルス持続感染制御に関するゲノム医学からのアプローチ	増崎英明	産婦人科	38,005,000	補委 厚生労働省
胎児・胎盤機能の分子評価法の確立とその臨床的意義に関する研究	三浦清徳	産婦人科	2,400,000	補委 文部科学省
妊娠初期の母体血を用いた妊娠合併症の発症リスク検査法の開発と応用	三浦清徳	産婦人科	5,000,000	補委 科学技術振興機構
周産期医療における先進的診断技術の開発と応用に関する研究	三浦清徳	産婦人科	1,600,000	補委 成育医療研究委託事業
抗菌剤と抗エストロゲン剤を用いた子宮内膜症の新たな治療法の開発に関する基礎的検討	カーン・カレク	産婦人科	1,500,000	補委 日本学術振興会
母体血中胎児DNAが自己免疫疾患の原因か? マイクロキミズムからのアプローチ	山崎健太郎	産婦人科	1,300,000	補委 文部科学省
子宮頸がんにおける血漿中HPVDNAの定量化の臨床的意義に関する研究	嶋田貴子	産婦人科	1,200,000	補委 文部科学省

(注) 1 国、地方公共団体又は公益法人から補助金の交付又は委託を受け、当該医療機関に所属する医師等が申請の前年度に行った研究のうち、高度の医療技術の開発及び評価に資するものと判断される主なものを記入すること。

2 「研究者氏名」欄は、1つの研究について研究者が複数いる場合には、主たる研究者の氏名を記入すること。

3 「補助元又は委託元」欄は、補助の場合は「補」に、委託の場合は「委」に、○印をつけた上で、補助元又は委託元を記入する。

(様式第11)

高度の医療技術の開発及び評価の実績

2 論文発表等の実績

雑誌名	題名	発表者氏名	所属部門
Eur J Radiol 71	A case of numerous atypical adenomatous hyperplasia diagnosed by a video-assisted thoracoscopic lung biopsy	Amenomori M	がん診療センター
Brit J Radiol 82	Detectability of peripheral lung cancer on chest radiographs: effect of the size, location and extent of ground-glass opacity	Hayashi H	がん診療センター
CT and MR imaging findings. Eur J Radiol 72	Metastasizing pleomorphic adenoma of the submandibular gland with metastasis to the lung and sternum	Yamaguchi T	がん診療センター
Dement Geriatr Cogn Disord	Comparative Analysis with Pathological Findings and Diffusion-Weighted Images	Mutsukura K	へき地病院再生支援・教育機構
Biomed Chromatogr 23(9)	A validated HPLC-fluorescence method with a semi-micro column for routine determination of homocysteine, cysteine and cysteamine, and the relation between the thiol derivatives in normal human plasma	Ichinose S	離島・へき地医学講座
J Publ Health Dent 69, 204-206, 2009 (IF:0.961)	Relationship between periodontal status and HbA1c in non-diabetics	Hayashida H	離島・へき地医学講座
Biomaterials 30	The development of a gene vector electrostatically assembled with a polysaccharide capsule	Kurosaki T	薬剤部
Biomaterials 30	Ternary complexes of pDNA, polyethylenimine, and gamma-polyglutamic acid for gene delivery systems	Kurosaki T	薬剤部
J Control Release 136	Pulmonary gene delivery of hybrid vector, lipopolyplex containing N-lauroylsarcosine, via the systemic route	Kurosaki T	薬剤部
J Pharmacol Sci 109	Role of glucocorticoid receptor in the regulation of cellular sensitivity to irinotecan hydrochloride	Akagi T	薬剤部
Journal of Public Health Dentistry 69 (2)	Dental caries in 3-year-old children is associated more with child-rearing behaviors than mother-related health behaviors	Kawashita Y	地域医療連携センター
International Symposium on Chernobyl Health Effects, Abstract p.39	Development of a novel monitoring device and system during radiation emergency	Takamura N	国際ヒバクシャ医療センター
Int J Clin Pract 63	Prevalence of chronic obstructive pulmonary diseases in general clinics and relevant factors with FEV1/FVC	Fukahori S	治験管理センター
J Clin Endocrinol Metab 94 (1)	Japanese Study Group on Type 1 Diabetes Genetics: Association of type 1 diabetes with two loci on 12q13 and 16p13 and the influence coexisting thyroid autoimmunity in Japanese	Awata T	生活習慣病予防診療部
Transl Res 153 (2)	Interleukin-18 promoter polymorphisms and the disease progression of hepatitis B virus-related liver disease	Migita K	生活習慣病予防診療部
Endoscopy 40 suppl 2	An admixture type of hyperplastic polyp at the esophagogastric junction	Hayashi T	光学医療診療部
Scand J Gastroenterol 43(2)	Ileal lesions in Behçet's disease originate in Peyer's patches: findings on magnifying endoscopy	Isomoto H	光学医療診療部
Dig Endosc 21(1)	Endoscopic submucosal dissection of a minute intramucosal adenocarcinoma in Barrett's esophagus	Ikedo K	光学医療診療部

Digestion 79 Suppl 1	Epigenetic alterations in cholangiocarcinoma-sustained IL-6/STAT3 signaling in cholangio- carcinoma due to SOCS3 epigenetic silencing	Isomoto H	光学医療診療部
Gastrointest Endosc 69(1)	Magnifying endoscopic observation of primary follicular lymphoma of the duodenum by using the narrow-band imaging system	Inoue N	光学医療診療部
J Biol Chem 284(3)	Helicobacter pylori VacA-induced inhibition of GSK3 through the PI3K/Akt signaling pathway	Nakayama M	光学医療診療部
Gastrointest Endosc 69(2)	Esophageal sebaceous glands diagnosed after endoscopic mucosal resection	Matsushima K	光学医療診療部
Clin Immunol 130(3)	Enhanced expression of CCL20 in human Helicobacter pylori-associated gastritis	Yoshida A,	光学医療診療部
Gut 58(3)	Endoscopic submucosal dissection for early gastric cancer: a large-scale feasibility study	Isomoto H	光学医療診療部
Inflamm Res 58(4)	Concentrations of alpha- and beta-defensins in plasma of patients with inflammatory bowel disease	Yamaguchi N	光学医療診療部
J Anesth 23 (3)	Effects of amitriptyline, a tricyclic antidepressant, on smooth muscle reactivity in isolated rat trachea	Matsunaga S	集中治療部
Int J Hematol	Long-term efficacy of imatinib in a practical setting is correlated with imatinib trough concentration that is influenced by body size: a report by the Nagasaki CML Study Group	Sakai M	輸血部
Int J Hematol	High-resolution melting analysis for a reliable and two-step scanning of mutations in the tyrosine kinase domain of the chimerical bcr-abl gene	Doi Y	輸血部
J Anesth 23 (3):	Effects of amitriptyline, a tricyclic antidepressant, on smooth muscle reactivity in isolated rat trachea	Matsunaga S	手術部
J Anesth; 23(4)	Anesthetic management of a patient with a double inferior vena cava and pulmonary alveolar proteinosis who underwent bilateral living donor lobar lung transplantation	Murata H	手術部
J Clin Oncol 27(3)	Definition, Prognostic Factors, Treatment, and Response Criteria of Adult T-Cell Leukemia-Lymphoma: A Proposal From an International Consensus Meeting	Tsukasaka K	原研内科
Leuk Res 33	Waldenström's macroglobulinemia in a 10-year stable IgG monoclonal gammopathy of undetermined significance	Iwanaga M	原研内科
Blood 113	Relationship between monoclonal gammopathy of undetermined significance and radiation exposure in Nagasaki atomic bomb survivors	Iwanaga M	原研内科
Eur J Haematol 82(4)	Aberrant p53 protein expression and function in a panel of hematopoietic cell lines with different p53 mutations	Kamihira S	原研内科
Int J Hematol 89(3)	Long-term efficacy of imatinib in a practical setting is correlated with imatinib trough concentration that is influenced by body size: a report by the Nagasaki CML Study Group	Sakai M	原研内科
Int J Hematol 89(3):	Phase I/II clinical study of dasatinib in Japanese patients with chronic myeloid leukemia or Philadelphia chromosome-positive acute lymphoblastic leukemia	Sakamaki H	原研内科
Int J Hematol 89(5)	A Phase I/II study of nilotinib in Japanese patients with imatinib-resistant or -intolerant Ph+ CML or relapsed/refractory Ph+ ALL	Tojo A	原研内科
Atherosclerosis 204(2)	Thyroid function is associated with carotid intima-media thickness in euthyroid subjects	Takamura N	総合診療科
J Antimicrob Chemother	Different effects of telithromycin on MUC5AC production induced by human neutrophil peptide-1 or lipopolysaccharide in NCI-H292 cells compared with azithromycin and clarithromycin	Ishimoto H	総合診療科

Int J Antimicrob Agents 34(5)	Efficacy of linezolid against Pantone-Valentine leukocidin (PVL)-positive methicillin-resistant Staphylococcus aureus (MRSA) in a mouse model of haematogenous pulmonary infection.	Yanagihara K	検査部
Eur J Haematol 82(4)	Aberrant p53 protein expression and function in a panel of hematopoietic cell lines with different p53 mutations.	Kamihira S	
Intern Med 48	Efficacy of Azithromycin in the Treatment of Community-acquired Pneumonia, Including Patients with Macrolide-resistant Streptococcus pneumoniae Infection	Yanagihara K	検査部
Cir J 72:	A case of takotsubo cardiomyopathy complicated by ventricular septal perforation	Iizumi K,	心臓血管外科
Plast Reconstr Surg	A consecutive case review of orbital blowout fractures and recommendations for comprehensive management.	Nakano M	形成外科
Lin Neurol Neurosurg 111 (2):	Progressive perianeurysmal edema preceding the rupture of a small basilar artery aneurysm	Hsu T	脳神経外科
Am J Neuroradiol 30 (3)	Efficacy of DynaCT Digital Angiography in the Detection of the Fistulous Point of Dural Arteriovenous Fistulas	Hsu T,	脳神経外科
J Vasc Interv Radiol 20 (1)	Clinical Predictors of Transient Ischemic Attack, Stroke, or Death within 30 Days of Carotid Artery Stent Placement with Distal Balloon Protection	Kawabata Y	脳神経外科
Neurol Med Chir 49 (9)	Symptomatic syringomyelia caused by a dermoid tumor in the posterior fossa	Suyama K	脳神経外科
J Clin Neurosci 16 (4)	A ruptured anterior communicating artery aneurysm associated with internal carotid artery agenesis and a middle cerebral artery anomaly	Suyama K	脳神経外科
Neurol Med Chir 49 (1)	Coexistence of Chiari 2 malformation and moyamoya syndrome in a 17-year-old girl	Suyama K	脳神経外科
Neurosurgery 65 (3)	The 150th anniversary of Nagasaki University School of Medicine	Hayashi K	脳神経外科
J Rheumatol 36 (1)	Determination of the subset of Sjögren's syndrome with articular manifestations by anticyclic citrullinated peptide antibodies	Iwamoto N	第一内科
Connect Tissue Res 50 (1)	Immobilization-induced cartilage degeneration mediated through expression of hypoxia-inducible factor-1alpha, vascular endothelial growth factor, and chondromodulin-1	Sakamoto J	第一内科
Transl Res 153 (2)	Interleukin-18 promoter polymorphisms and the disease progression of Hepatitis B virus-related liver disease	Migita K	第一内科
J Neurol Sci 277 (1-2)	Right-to-left shunts may be not uncommon cause of TIA in Japan	Tateishi Y	第一内科
Clin Exp Rheumatol 27 (2)	Potential of glucocorticoid receptor (GR)-mediated signaling by the immunosuppressant tacrolimus in rheumatoid synoviocytes	Torigoshi T	第一内科
Endocrinology 150 (3)	Expression of immunoregulatory molecules by thyrocytes protects nonobese diabetic-H2h4 mice from developing autoimmune thyroiditis	Nakahara M	第一内科
J Clin Endocrinol Metab 94 (3)	Genetic association between the interleukin-2 receptor-α gene and mode of onset of type 1 diabetes in the Japanese population	Kawasaki E	第一内科
J Rheumatol 36(6)	High serum cartilage oligomeric matrix protein determines the subset of patients with early-stage rheumatoid arthritis with high serum C-reactive protein, matrix metalloproteinase-3, and MRI-proven bone erosion	Fujikawa K	第一内科
Arthritis Rheum 61 (6)	A prediction rule for disease outcome in patients with undifferentiated arthritis using magnetic resonance imaging of the wrists and finger joints and serologic autoantibodies	Tamai M	第一内科
Scand J Rheumatol 38 (4)	Association of distinct clinical subsets with myositis-specific autoantibodies towards anti-155/140-kDa polypeptides, anti-140-kDa polypeptides, and anti-aminoacyl tRNA synthetases in Japanese patients with dermatomyositis: a single-centre, cross-sectional study	Fujikawa K	第一内科
Atherosclerosis 204 (2)	Thyroid function is associated with carotid intima-media thickness in euthyroid subjects	Takamura N	第一内科
Rheumatology 48 (7)	Low prevalence of ectopic germinal centre formation in patients with HTLV-I-associated Sjögren's syndrome	Nakamura H	第一内科
Rheumatology 48 (7)	Serum amyloid A protein stimulates CCL20 production in rheumatoid synoviocytes	Migita K	第一内科

Cytotechnology 60 (1-3)	Different expression levels of TNF receptors on the rheumatoid synovial macrophages derived from surgery and a synovectomy as detected by a new flow cytometric analysis	Iida H	第一内科
Am J Emerg Med 27 (6)	Muscle-specific tyrosine kinase-antibody-positive myasthenic crisis with detailed electrophysiologic studies	Yanagawa Y	第一内科
Muscle Nerve 40 (1)	"Dropped head syndrome" caused by Lambert-Eaton myasthenic syndrome	Ueda T	第一内科
Ann Rheum Dis 68 (8)	Proposal for a new clinical entity, IgG4-positive multiorgan lymphoproliferative syndrome: analysis of 64 cases of IgG4-related disorders	Masaki Y	第一内科
J Neurol 256 (10)	Efficacy of tacrolimus in Sjögren's syndrome-associated CNS disease with aquaporin-4 autoantibodies	Fukuda T	第一内科
J Rheumatol 36 (11)	Proinflammatory cytokines synergistically enhance the production of chemokine ligand 20 (CCL20) from rheumatoid fibroblast-like synovial cells in vitro and serum CCL20 is reduced in vivo by biologic disease-modifying antirheumatic drugs	Kawashiri S	第一内科
Chest 136 (5)	Clinical differences between interstitial lung disease associated with clinically amyopathic dermatomyositis and classic dermatomyositis	Mukae H	第一内科
Endocrinology 150 (11)	T helper type 17 immune response plays an indispensable role for development of iodine-induced autoimmune thyroiditis in non-obese diabetic-H2h4 mice	Horie I	第一内科
J Radiat Res 50 (6)	Induction of Late-onset Spontaneous Autoimmune Thyroiditis by a Single Low-dose Irradiation in Thyroiditis-prone Non-obese Diabetic-H2(h4) Mice	Nagayama Y	第一内科
Arch Neurol 66 (11)	Autoimmune targets of heart and skeletal muscles in myasthenia gravis	Suzuki S	第一内科
Rheumatol Int 30 (2)	Multiple bone fracture due to Fanconi's syndrome in primary Sjögren's syndrome complicated with organizing pneumonia	Nakamura H	第一内科
Clin Exp Rheumatol 27 (6)	Calcium/calmodulin-dependent protein kinase II (CaMKII) regulates tumour necrosis factor-related apoptosis inducing ligand (TRAIL)-mediated apoptosis of fibroblast-like synovial cells (FLS) by phosphorylation of Akt	Fujikawa K	第一内科
Dement Geriatr Cogn Disord 28 (6)	Familial Creutzfeldt-Jakob Disease with a V180I Mutation: Comparative Analysis with Pathological Findings and Diffusion-Weighted Images	Mutsukura K	第一内科
Lupus 18 (14)	Limbic encephalitis associated with systemic lupus erythematosus	Kano O	第一内科
Antivir Ther 14 (4)	Disulfide-mediated apoptosis of human T-lymphotropic virus type-I (HTLV-I)-infected cells in patients with HTLV-I-associated myelopathy/tropical spastic paraparesis	Nishiura Y	第一内科
Respirology	The committee for the Japanese Respiratory Society guidelines for the management of respiratory infections. The Japanese Respiratory Society guidelines for the management of hospital-acquired pneumonia in adults 2008.	Kohno S	第二内科
J Orthop Sci	Quantitative analysis of Staphylococcus epidermidis biofilm on the surface of biomaterial.	Kajiyama S	第二内科
Pulmonary Pharmacology and Therapeutics	Azithromycin, clarithromycin and telithromycin inhibit MUC5AC induction by Chlamydomydia pneumoniae in airway epithelial cells.	Morinaga Y	第二内科
J Clin Immunol	Strong evidence of a combination polymorphism of the tyrosine kinase 2 gene and the signal transducer and activator of transcription 3 gene as a DNA-based biomarker for susceptibility to Crohn's disease in the Japanese population.	Sato K	第二内科

Journal of Infection	The Clinical Efficacy of Fluoroquinolone and Macrolide Combination therapy compared with single agent therapy against community-acquired pneumonia caused by Legionella pneumophila.	Nakamura S	第二内科
Int J Antimicrob Agents	Efficacy of linezolid against PVL-positive MRSA in a mouse model of hematogenous pulmonary infection.	Yanagihara K	第二内科
Diagn Microbiol Infect Dis	International Surveillance Program (2007) for linezolid resistance: results from 5591 Gram-positive clinical isolates in 23 countries.	Jones RN	第二内科
Int J Hematol	High-resolution melting analysis for a reliable and two-step scanning of mutations in the tyrosine kinase domain of the chimerical bcr-abl gene.	Doi Y	第二内科
Tohoku J Exp Med	Serum KL-6 glycoprotein or surfactant protein-D is elevated in adult T-cell leukemia with distinct pulmonary complications.	Osaka A	第二内科
Int J Antimicrob Agents	In vivo efficacy of sitafloxacin in a new murine model of nontypable Haemophilus influenzae pneumonia by sterile intratracheal tube.	Nakamura S	第二内科
Eur J Haematol	Aberrant p53 protein expression and function in a panel of hematopoietic cell lines with different p53 mutations.	Kamihira S	第二内科
J Clin Immunol	Polymorphisms of PTPN11 coding SHP-2 as biomarkers for ulcerative colitis susceptibility in the Japanese population.	Narumi Y	第二内科
Diagn Microbiol Infect Dis	Multiplex real-time PCR for rapid detection of beta-lactamase-negative, ampicillin-resistant Haemophilus influenzae (BLNAR).	Nakamura S	第二内科
J. Clin. Microbiol	Melting curve analysis for rapid detection of topoisomerase gene mutations in Haemophilus influenzae	Nakamura S	第二内科
Int J Antimicrob Agents	Comparative mutant prevention concentration and mutant selection window of sitafloxacin versus other quinolones using strains of H. influenzae with decreasing susceptibility to levofloxacin	Nakamura S	第二内科
J Cancer Res Clin Oncol	A novel role of serum cytochrome C as a tumor marker in patients with operable cancer	Osaka A	第二内科
Int J Lab Hematol	Serum cytochrome c to indicate the extent of ongoing tumor cell death.	Osaka A	第二内科
Clin Vaccine Immunol	Evaluation of a rapid immunochromatographic ODK0501 assay for detecting Streptococcus pneumoniae antigen in sputum samples from patients with lower respiratory tract infection.	Izumikawa K	第二内科
Intern Med	Unique mutations of the cystic fibrosis transmembrane conductance regulator gene of three cases of cystic fibrosis in Nagasaki, Japan.	Izumikawa K	第二内科
Antimicrob Agents Chemother	Efficacy of combination antifungal therapy with intraperitoneally administered micafungin and aerosolized liposomal amphotericin B against murine invasive pulmonary aspergillosis.	Takazono T	第二内科
Jpn J Infect Dis	Lemierre's syndrome followed by acute respiratory distress syndrome successfully rescued by antibiotics and hemoperfusion with polymyxin B-immobilized fiber.	Takazono T	第二内科
Intern Med	Efficacy of azithromycin in the treatment of community-acquired pneumonia, including patients with macrolide-resistant Streptococcus pneumoniae infection.	Yanagihara K	第二内科
Mycopathologia	Pulmonary cryptococcosis in late pregnancy and review of published literature.	Nakamura S	第二内科
Mycopathologia	Skn7p is involved in oxidative stress response and virulence of Candida glabrata.	Saijo T	第二内科
Jpn J Infect Dis	Expression and analysis of Platelet activating factor (PAF) related molecule in severe pneumonia in mice due to influenza virus and bacterial co-infection using by DNA microarray	Seki M	第二内科
Intern Med	A clinical comparative study of piperacillin and sulbactam/ampicillin in patients with community-acquired bacterial pneumonia.	Seki M	第二内科
J Immunol Posted online	Critical role of IRAK-M in regulating chemokine-dependent deleterious inflammation in murine influenza pneumonia.	Seki M	第二内科

Mycoses	Comparison of the in vitro activity of terbinafine and itraconazole against dermatophytes.	Ghannoum MA	第二内科
Cornea	Increased resistance of contact lens-related bacterial biofilms to antimicrobial activity of soft contact lens care solutions.	Szczotka-Flynn LB	第二内科
Antimicrob Agents Chemother	In vitro activity of garenoxacin against Streptococcus pneumoniae mutants with characterized resistance mechanisms.	Yamamoto K	第二内科
Respiration	Dyspnea with a slow-growing mass in the breast.	Amenomori M	第二内科
Jpn J Infect Dis	The effects of an hsp90 inhibitor on the paradoxical effect.	Kaneko Y	第二内科
Med Mycol Posted online	Anti-Candida-biofilm activity of micafungin is attenuated by voriconazole but restored by pharmacological inhibition of Hsp90-related stress responses.	Kaneko Y	第二内科
Int J Clin Pract	Prevalence of chronic obstructive pulmonary diseases in general clinics and relevant factors with FEV1/FVC.	Fukahori S	第二内科
Respirology	Efficacy and safety of omalizumab in an Asian population with moderate-to-severe persistent asthma.	Ohta K	第二内科
J Thorac Oncol	A phase I study of amrubicin and carboplatin for previously untreated patients with extensive-disease small cell lung cancer.	Fukuda M	第二内科
Int J Cancer	Identification of CCDC62-2 as a novel cancer/testis antigen and its immunogenicity.	Domae S	第二内科
Lung Cancer	Spontaneous remission of a non-small cell lung cancer possibly caused by anti-NY-ESO-1 immunity.	Nakamura Y	第二内科
Rheumatol Int	Multiple bone fracture due to Fanconi's syndrome in primary Sjögren's syndrome complicated with organizing pneumonia.	Nakamura H	第二内科
Intern Med	Elevated levels of tenascin-C in patients with cryptogenic organizing pneumonia.	Hisatomi K	第二内科
Intern Med	Desquamative interstitial pneumonia (DIP) in a patient with rheumatoid arthritis: is DIP associated with autoimmune disorders?	Ishii H	第二内科
J Antimicrob Chemother	Different effects of telithromycin on MUC5AC production induced by human neutrophil peptide-1 or lipopolysaccharide in NCI-H292 cells compared with azithromycin and clarithromycin.	Ishimoto H	第二内科
Chest	Clinical Differences Between Interstitial Lung Disease Associated With Clinically Amyopathic Dermatomyositis and Classical Dermatomyositis.	Mukae H	第二内科
Int J Toxicol	Effect of atorvastatin on PM10-induced cytokine production by human alveolar macrophages and bronchial epithelial cells.	Sakamoto N	第二内科
Inflamm Res	Concentrations of α - and β -defensins in plasma of patients with inflammatory bowel disease.	Yamaguchi N	第二内科
Scand J Rheumatol	Association of distinctive clinical subsets with myositis-specific autoantibodies toward anti-155/140kD polypeptides, anti-140kD polypeptides, and anti-aminoacyl tRNA synthetases in patients with dermatomyositis of Japanese population: a single-center, cross-sectional study.	Fujikawa K,	第二内科
Gut	Endoscopic submucosal dissection for early gastric cancer: a large-scale feasibility study.	Isomoto H	消化器内科
Clin Immunol	Enhanced expression of CCL20 in human Helicobacter pylori-associated gastritis.	Yoshida A	消化器内科
Inflamm Res	Concentrations of α - and β -defensins in plasma of patients with inflammatory bowel disease.	Yamaguchi N	消化器内科
Liver Int	Study of liver-targeted regulatory T cells in hepatitis B and C virus in chronically infected	Miyaaki H	消化器内科
Liver Int	Long-term increase in liver volume after Denver peritoneovenous shunt: report of two cases.	Miyaaki H	消化器内科
J Clin Immunol	Polymorphisms of PTPN11 coding SHP-2 as biomarkers for ulcerative colitis susceptibility in the Japanese population.	Narumi Y	消化器内科
Eur J Surg Oncol	Relationship between period of survival and clinicopathological characteristics in patients with colorectal liver metastasis.	Nanashima A	消化器内科
J Clin Biochem Nutr	Endoscopic submucosal dissection in the era of proton pump inhibitors.	Isomoto H	消化器内科
J Gastroenterol	Actual therapeutic efficacy of pre-transplant treatment on hepatocellular carcinoma and its impact on survival after salvage living donor liver	Eguchi S	消化器内科

Gastroenterology	Death receptor 5 internalization is required for lysosomal permeabilization by TRAIL in malignant liver cell lines.	Akazawa Y,	消化器内科
Hepatogastroenterology	Evaluation of new prognostic staging systems (SLiDe score) for hepatocellular carcinoma patients who underwent hepatectomy.	Nanashima A	消化器内科
J Gastroenterol	Interferon- α -induced mTOR activation is an anti-hepatitis C virus signal via the phosphatidylinositol 3-kinase-Akt-independent pathway.	Matsumoto A	消化器内科
Endoscopy	Clinicopathological factors associated with clinical outcomes of endoscopic submucosal dissection for colorectal epithelial neoplasms.	Isomoto H	消化器内科
Endoscopy	New endoscopic images of mucosal prolapse syndrome.	Chen CC	消化器内科
Hepatol Res	Predictive value of suppressor of cytokine signal 3 (SOCS3) in the outcome of interferon therapy in chronic hepatitis C.	Miyaaki H	消化器内科
Hepatol Res	Hepatitis C virus kinetics during the first phase of pegylated interferon- α -2b with ribavirin therapy in patients with living donor liver transplantation.	Ichikawa T	消化器内科
Intern Med	The significance of enzyme immunoassay for the assessment of hepatitis B virus core-related antigen following liver transplantation.	Fujimoto M	消化器内科
Med Sci Monit	Pneumatosis intestinalis in ulcerative colitis.	Matsumoto A	消化器内科
Dig Dis Sci	Overexpression of mcl-1 attenuates liver injury and fibrosis in the bile duct-ligated mouse.	Kahraman A	消化器内科
J Biol Chem	JNK1-dependent PUMA expression contributes to hepatocyte lipoapoptosis.	Cazanave SC	消化器内科
Digestion	Clinical outcomes of endoscopic submucosal dissection for early gastric cancer by indication criteria.	Yamaguchi N	消化器内科
Dig Endosc	A new thin endoscopic method of transanal drainage tube insertion for acute colonic obstruction due to colorectal cancer.	Ohnita K	消化器内科
J Biol Chem	Mcl-1 degradation during hepatocyte lipoapoptosis.	Masuoka HC	消化器内科
J Clin Immunol	Strong evidence of a combination polymorphism of the tyrosine kinase 2 gene and the signal transducer and activator of transcription 3 gene as a DNA-based biomarker for susceptibility to Crohn's disease in the Japanese population.	Sato K	消化器内科
J Radiat Res	Induction of late-onset spontaneous autoimmune thyroiditis by a single low-dose irradiation in thyroiditis-prone non-obese diabetic-H2(h4) mice.	Nagayama Y	消化器内科
Endocrinology	T helper type 17 immune response plays an indispensable role for development of iodine-induced autoimmune thyroiditis in nonobese diabetic-H2h4 mice.	Horie I	消化器内科
Surg Endosc	Factors related to the curability of early gastric cancer with endoscopic submucosal dissection.	Ohnita K	消化器内科
Oncol Rep	The level of fasting serum insulin, but not adiponectin, is associated with the prognosis of early stage hepatocellular carcinoma.	Miuma S	消化器内科
Antimicrob Agents Chemother	Randomized controlled study investigating viral suppression and serological response following pre-S1/pre-S2/S vaccine therapy combined with lamivudine treatment in HBsAg-positive patients with chronic hepatitis B.	Hoang PT	消化器内科
Med Sci Monit	Magnified endoscopic observation using narrow-band imaging of periampullary adenoma in a patient with familial adenomatous polyposis.	Yamao T	消化器内科
Oncol Rep	Epigenetic alterations associated with cholangiocarcinoma (review).	Isomoto H	消化器内科
J Am Coll Cardiol	Characteristics of recurrent ventricular fibrillation associated with inferolateral early repolarization: Role of Drug Therapy.	Haïssaguerre M	循環器内科
Circulation.	Images in cardiovascular medicine. Lung perfusion blood volume computed tomographic images of pulmonary embolism: before and after thrombolysis.	Sueyoshi E	循環器内科
Journal of Clinical Pharmacy and Therapeutics	Effect of obesity on serum amiodarone concentration in Japanese patients: population pharmacokinetic investigation by multiple trough screen analysis.	Fukuchi H	循環器内科
J Biol Chem	Kruppel-like Factor 2 Inhibits Hypoxia-inducible Factor 1 α Expression and Function in the Endothelium.	Kawanami D	循環器内科

J Am Soc Nephrol	SLCO4C1 transporter eliminates uremic toxins and attenuates hypertension and renal inflammation.	Toyohara T	循環器内科
Eur Heart J	Early stage chronic kidney disease is associated with coronary spastic angina.	Koga S	循環器内科
Eur Heart J	Effect of valsartan, an angiotensin II receptor blocker, on postchallenge hyperglycemia and hyperinsulinemia in patients with coronary artery disease.	Koga S	循環器内科
Eur Heart J	Effect of nasal continuous positive airway pressure on early stage chronic kidney disease in patients with obstructive sleep apnea syndrome.	Koga S	循環器内科
Circulation	Influence of early stage chronic kidney disease on coronary spastic angina.	Koga S	循環器内科
Psychiatry and Clinical neurosciences	Effects of cellular phone email use on the mental health of junior high school student in Japan.	Akira Imamura	精神神経科
Neurosci Res	The calming effect of a maternal breast milk odor on the human newborn infant.	S Nishitani	小児科
Pediatr Int	Probable Noonan Syndrome in a boy without PTPN11 mutation, manifesting unusual	M Sumi	小児科
Pediatr Int	Differential T-cell response in a young child and neonates with toxic shock syndrome.	S Dateki	小児科
J Hum Genet	Molecular karyotyping in 17 patients and mutation screening in 41 patients with kabuki syndrome.	H Kuniba	小児科
Jpediatr	Retrospective Diagnosis of Congenital cytomegalovirus Infection at a School for the Deaf by Using Preserved Umbilical Cord.	M Tagawa	小児科
Intern Med	Multiple Immune Abnormalities in a Patient with Idiopathic CD4+ T-Lymphocytopenia.	Y Yamada	小児科
Eur J Surg Oncol	Relationship between period of survival and clinicopathological characteristics in patients with colorectal liver metastasis.	Nanashima A	第一外科
J Hepatobiliary Pancreat Surg	Usefulness of measuring hepatic functional volume using Technetium-99m galactosyl serum albumin scintigraphy in bile duct carcinoma: report of two	Nanashima A	第一外科
Hepatogastroenterol	An experience of treatment of postoperative biliary stricture at a single Japanese institute.	Nanashima A	第一外科
Eur J Surg Oncol	Trisectionectomy for large hepatocellular carcinoma using the liver hanging maneuver.	Nanashima A	第一外科
Hepatogastroenterol	Clinical significance of measuring urinary sulfated bile acids in adult patients with hepatobiliary diseases.	Nanashima A	第一外科
Hepatogastroenterol	Usefulness and limitation of laparoscopic assisted hepatic resections: a preliminary report.	Nanashima A	第一外科
Hepatogastroenterol	Usefulness and limitation of laparoscopic assisted hepatic resections: a preliminary report.	Nanashima A	第一外科
Ann Surg Oncol	Relationship between microvessel count and postoperative survival in patients with intrahepatic cholangiocarcinoma.	Nanashima A	第一外科
Hepatogastroenterol	Three-dimensional cholangiography applying C-arm computed tomography in bile duct carcinoma: a new radiological technique.	Nanashima A	第一外科
Hepatogastroenterol	Clinical significance of portal vein embolization before right hepatectomy.	Nanashima A	第一外科
Hepatogastroenterol	Treatment of concomitant gastric varices in patients with hepatocellular carcinoma at a single Japanese institute.	Nanashima A	第一外科
World J Surg	Characteristics of bile duct carcinoma with superficial extension in the epithelium.	Nanashima A	第一外科
J Thorac Cardiovasc Surg	Keratinocyte growth factor accelerates compensatory growth in the remaining lung after trilobectomy in rats.	Matsumoto K	第一外科
Hepatogastroenterol	Evaluation of new prognostic staging systems (SLiDe score) for hepatocellular carcinoma patients who underwent hepatectomy.	Nanashima A	第一外科
Ann Surg Oncol	Clinical Significance of Microvessel Count in Patients with Metastatic Liver Cancer Originating from Colorectal Carcinoma.	Nanashima A	第一外科
Am J Surg	Cholecystitis caused by a fish bone.	Kunizaki M	第一外科
Lung Cancer	Accuracy and prognostic impact of a vessel invasion grading system for stage IA non-small cell lung cancer.	Hashizume S	第一外科

Hepatogastroenterol	Simultaneous hepatic and pulmonary resection for metastatic colonic carcinoma under thoraco-laparotomy with right oblique incision: case report.	Nanashima A	第一外科
J Thorac Imaging	A case of migrated thoracolithiasis.	Tsuchiya T	第一外科
Hepatogastroenterology	Low-dose recombinant human hepatocyte growth factor enhances effect of hepatocyte transplantation in rats treated with retrorsine.	Hamada T	第二外科
Hepatogastroenterology	Rib-lifting method for retraction of the low-lying costal arch in laparoscopic cholecystectomy of gallbladder torsion with kyphoscoliosis.	Kuroki T	第二外科
Hepatol Res	Living-donor liver transplantation from second generation children for atomic bomb survivors.	Eguchi S	第二外科
Intern Med	The significance of enzyme immunoassay for the assessment of hepatitis B virus core-related antigen following liver transplantation.	Fujimoto M	第二外科
Surgery	Exodus of Kampo, traditional Japanese medicine, from the complementary and alternative medicines: is it time yet?	Kono T,	第二外科
Transplantation	Indocyanine green dye excretion in bile reflects graft function after living donor liver transplantation.	Eguchi S	第二外科
Carcinogenesis	Chemopreventative effect of an inducible nitric oxide synthase inhibitor, ONO-1714, on inflammation-associated biliary carcinogenesis in hamsters.	Mishima T	第二外科
World J Surg	Anatomy-specific pancreatic stump management to reduce the risk of pancreatic fistula after pancreatic head resection.	Tajima Y	第二外科
Surg Today	Vacuum-assisted biopsy and steroid therapy for granulomatous lobular mastitis: report of three cases.	Kuba S	第二外科
Hepatol Res	Hepatitis C virus kinetics during the first phase of pegylated interferon-alpha-2b with ribavirin therapy in patients with living donor liver transplantation.	Ichikawa T,	第二外科
Hepatogastroenterology	Gastric wall-covering method prevents pancreatic fistula after distal pancreatectomy.	Kuroki T,	第二外科
Hepatol Res	Efficacy and limitation of bone marrow transplantation in the treatment of acute and subacute liver failure in rats.	Tokai H	第二外科
Hepatogastroenterology	Intraoperative pancreatography using an endoscopic naso-pancreatic drainage tube for the prevention of pancreatic fistula after local pancreatic resection.	Kuroki T,	第二外科
Hepatogastroenterology	Oxidative stress and tumor progression in colorectal cancer.	Inokuma T	第二外科
J Gastroenterol	Actual therapeutic efficacy of pre-transplant treatment on hepatocellular carcinoma and its impact on survival after salvage living donor liver transplantation.	Eguchi S	第二外科
J Hepatobiliary Pancreat Surg	Intraductal papillary mucinous neoplasm of the pancreas with a bifid pancreatic duct.	Tajima Y	第二外科
Surgery	Huge pancreatic pseudocyst migrating to the psoas muscle and inguinal region.	Tajima Y	第二外科
J Hepatobiliary Pancreat Surg	Torsion of the gallbladder in a 3-year-old infant.	Hamada T	第二外科
Surg Today	What is the real contribution of extrahepatic cells to liver regeneration?	Eguchi S	第二外科
Hepatol Res	Multicentric occurrence and spread of hepatocellular carcinoma in whole explanted end-	Hidaka M	第二外科
Liver Int	Long-term increase in liver volume after Denver peritoneovenous shunt: report of two cases.	Miyaaki H	第二外科
Dig Dis Sci	Acute deterioration of idiopathic portal hypertension requiring living donor liver transplantation: a case report.	Inokuma T	第二外科
J Surg Res	Chemopreventative effect of hochu-ekki-to (TJ-41) on chemically induced biliary carcinogenesis in hamsters.	Tsuneoka N,	第二外科
Hepatology	Hepatic irradiation augments engraftment of donor cells following hepatocyte transplantation.	Yamanouchi K	第二外科
Am J Surg	Gallbladder torsion showing a "whirl sign" on a multidetector computed tomography scan.	Tajima Y	第二外科
Am J Physiol Gastrointest Liver Physiol	Soffer EE The effect of eating on lower esophageal sphincter electrical activity.	Sanmiguel CP	第二外科
Eur J Pediatr Surg	Laparoscopic sigmoidectomy using a Prolapsing Technique for Sigmoid Colon Volvulus in Children.	Hamada T,	第二外科

Biomed Res	Photocatalytic bactericidal action of fluorescent light in a titanium dioxide particle mixture: an <i>in vitro</i> study.	Koseki H	整形外科
J Bone Joint Surg Am	Multifocal osteonecrosis caused by traumatic pancreatitis in a child. A case report.	Koseki H	整形外科
Clin Orthop Relat Res	Joint congruency as an indication for rotational acetabular osteotomy.	Okano K	整形外科
Biochem Biophys Res Commun	Bone marrow adipocytes support dexamethasone-induced osteoclast differentiation.	Hozumi A	整形外科
Int Orthop	Long-term outcome of Ludloff's medial approach for open reduction of developmental dislocation of the hip in relation to the age at operation.	Okano K	整形外科
J Orthop Sci	Quantitative analysis of Staphylococcus epidermidis biofilm on the surface of biomaterial.	Kajiyama S,	整形外科
Osteoarthritis and Cartilage	Background of Generalized Osteoarthritis; Epidemiological analysis of the Distribution of Peri-articular Osteophytes in Human Skeletons.	Tsurumoto T,	整形外科
J Clin Immunol	Clinical significance of serum HMGB-1 and sRAGE levels in systemic sclerosis: association with disease severity.	Yoshizaki A	皮膚科
Autoimmunity	Decreased levels of autoantibody against histone deacetylase 3 in patients with systemic sclerosis.	Kuwatsuka Y	皮膚科
J Rheumatol	Elevated serum concentrations of polymorphonuclear neutrophilic leukocyte elastase in systemic sclerosis: association with pulmonary fibrosis.	Hara T	皮膚科
Rheumatology	Reduced red blood cell velocity in nail-fold capillaries as a sensitive and specific indicator of microcirculation injury in systemic sclerosis.	Mugii N	皮膚科
J Rheumatol	Increased serum pentraxin 3 in patients with systemic sclerosis.	Iwata Y	皮膚科
Am J Pathol	Establishment of experimental eosinophilic vasculitis by IgE-mediated cutaneous reverse passive arthus reaction.	Ishii T	皮膚科
J Invest Dermatol	Low zone tolerance requires ICAM-1 expression to limit contact hypersensitivity elicitation.	Komura K	皮膚科
J Rheumatol	Elevated circulating TWEAK levels in systemic sclerosis: Association with lower frequency of pulmonary fibrosis.	Yanaba K	皮膚科
J Rheumatol	Serum CXCL16 concentrations correlate with the extent of skin sclerosis in patients with systemic sclerosis.	Yanaba K	皮膚科
Clin Exp Rheumatol	Autoantibody against activating transcription factor-2 in patients with systemic sclerosis.	Akiyama Y	皮膚科
Am J Pathol	CD19, a response regulator of B lymphocytes, regulates wound healing through hyaluronan-induced TLR4 signaling.	Iwata Y	皮膚科
J Dermatol Sci	Olopatadine hydrochloride inhibits scratching behavior induced by a proteinase-activated receptor 2 agonist in mice.	Yoshizaki A	皮膚科
J Invest Dermatol	P-selectin glycoprotein ligand-1 contributes to wound healing predominantly as a p-selectin ligand and partly as an e-selectin ligand.	Tomita H	皮膚科
Dig Dis Sci	Expression patterns of angiopoietin-1, -2, and tie-2 receptor in ulcerative colitis support involvement of the angiopoietin/tie pathway in the progression of ulcerative colitis.	Yoshizaki A	皮膚科
Pathol Res Pract	TPE3-renal carcinoma in an adult patient: A case with strong expression of phosphorylated hepatocyte growth factor (HGFR)/Met.	Sagara Y	泌尿器科
J Cancer Res Clin Oncol	Loss of PTEN function may account for reduced proliferation pathway sensitivity to LY294002 in human prostate and bladder cancer cells.	Kanda S	泌尿器科
Int J Oncol	Downregulation of the c-Fes protein-tyrosine kinase inhibits the proliferation of human renal carcinoma cells.	Kanda S	泌尿器科

Urology	Hot flashes during androgen deprivation therapy with luteinizing hormone-releasing hormone agonist combined with steroidal or nonsteroidal antiandrogen for prostate cancer.	Sakai H,	泌尿器科
Exp Clin Endocrinol Diabetes	A case of unilateral adrenal hyperplasia being difficult to distinguish from aldosterone-producing adenoma.	Shigematsu K,	泌尿器科
Endocr Pathol	Primary aldosteronism with aldosterone-producing adenoma consisting of pure zone glomerulosa-type cells in a pregnant woman.	Shigematsu K,	泌尿器科
Hum Pathol	Phosphorylated hepatocyte growth factor receptor/c-Met is associated with tumor growth and prognosis in patients with bladder cancer: correlation with matrix metalloproteinase-2 and -7 and E-cadherin.	Miyata Y	泌尿器科
Int J Oncol	Inhibition of endothelial cell chemotaxis toward FGF-2 by gefitinib associates with downregulation of Fes activity.	Kanda S	泌尿器科
APMIS	ELAF expression is associated with extra-prostatic growth and matrix metalloproteinase-7 expression in prostate cancer.	Maruta S	泌尿器科
Cancer	Study Group for the Combined Androgen Blockade Therapy of Prostate Cancer: Combined androgen blockade with bicaltamide for advanced prostate cancer: long-term follow-up of a phase 3, double-blind, randomized study for survival.	Akaza H	泌尿器科
Eur J Endocrinol	Synaptophysin immunoreactivity in adrenocortical adenomas: a correlation between synaptophysin and CYP17A1 expression.	Shigematsu K	泌尿器科
Eur J Pharmacol	Kallidinogenase normalizes retinal vasopermeability in streptozotocin-induced diabetic rats: potential roles of vascular endothelial growth factor and nitric oxide.	Kato N	眼科
Br J Ophthalmol	Randomised controlled trial of posterior sub-Tenon triamcinolone as adjunct to panretinal photocoagulation for treatment of diabetic retinopathy.	Unoki N	眼科
Otolaryngol Head Neck Surg	Effects of a tongue-holding maneuver during swallowing evaluated by high-resolution manometry.	Umeki H	耳鼻咽喉科
Audiol Neurotol	Expression of the osmotically responsive cationic channel TRPV4 in the endolymphatic sac.	Kumagami H	耳鼻咽喉科
Acta Otolaryngol	Subjective visual vertical test in patients with chronic dizziness without abnormal findings in routine vestibular function tests.	Kumagami H	耳鼻咽喉科
Acta Otolaryngol	A case with posterior fossa epidermoid cyst showing audiovestibular symptoms caused by insufficiency of anterior inferior cerebellar artery - usefulness of free DICOM image viewing and Oxygen consumption by bacteria: a possible cause of negative middle ear pressure in ears with otitis media.	Takasaki K	耳鼻咽喉科
Acta Otolaryngol Suppl		Kitaoka K	耳鼻咽喉科
Otolaryngol Head Neck Surg	Laryngeal solitary fibrous tumor treated with a transcervical approach.	Yamaguchi N	耳鼻咽喉科
Eur Arch Otorhinolaryngol	Relationship between airborne pollen count and treatment outcome in Japanese cedar pollinosis patients.	Takasaki K	耳鼻咽喉科
Acta Otolaryngol	Amplitude and area ratios of summing potential/action potential (SP/AP) in Meniere's disease.	Baba A	耳鼻咽喉科
Otol Neurotol	Subjective visual vertical in acute attacks of Ménière's disease.	Kumagami H	耳鼻咽喉科
Auris Nasus Larynx	s sensorineural hearing loss with chronic otitis media due to infection or aging in older patients?	Yoshida H	耳鼻咽喉科
Laryngoscope	Effect of the Tympanostomy Tube on Postoperative Retraction of the Soft Posterior Meatal Wall Caused by Habitual Sniffing.	Yamamoto-Fukuda T	耳鼻咽喉科

Otol Neurotol	Cochlear implantation in children with congenital cytomegalovirus infection.	Yoshida H	耳鼻咽喉科
Comput Med Imaging Graph	Expansion rate of nonaneurysmatic abdominal aorta: over 10 years of follow-up CT studies.	Mizowaki T	放射線科
J Bone Miner Res	Activation of renin-angiotensin system induces osteoporosis independently of hypertension.	Asaba Y	放射線科
Nat Med	Coordination of PGC-1 β and iron uptake in mitochondrial biogenesis and osteoclast activation.	Ishii K	放射線科
Brit Med J Case Reports	Evolution of chest radiograph.	Sueyoshi E	放射線科
Am J neuroradiol	Efficacy of DynaCT digital angiography in the detection of the fistulous point of dural arteriovenous fistulas.	Hiu T	放射線科
J Hepatobiliary Pancreatic Surg	Usefulness of measuring hepatic functional volume using Technetium-99m galactosyl serum albumin scintigraphy in bile duct carcinoma: report of two	Nanashima A	放射線科
Brit J Radiol	Detectability of peripheral lung cancer on chest radiographs: effect of the size, location and extent of ground-glass opacity.	Hayashi H	放射線科
Eur Radiol	CT and clinical features of hemorrhage extending along the pulmonary artery due to ruptured aortic dissection.	Sueyoshi E	放射線科
Surg neurol	Observation of the embolus protection filter for Carotid Artery Stenting.	Hayashi K	放射線科
J Neurosurg	MicroNester coil for neurointervention.	Hayashi K	放射線科
Hepato-gastroenterol	three-dimensional cholangiography applying C-arm computed tomography in bile duct carcinoma: a new radiological technique.	Nanashima A	放射線科
Hepato-gastroenterol	Clinical significance of portal vein embolization before right hepatectomy.	Nanashima A	放射線科
J Rheumatol	High serum cartilage oligomeric matrix protein determines the subset of patients with early-stage rheumatoid arthritis with high serum C-reactive protein, matrix metalloproteinase-3, and MRI-proven bone erosion.	Fujikawa K	放射線科
Arthritis Rheum	A prediction rule for disease outcome in patients with undifferentiated arthritis using magnetic resonance imaging of the wrists and finger joints and serologic autoantibodies.	Tamai M	放射線科
J Vasc Surg	Right renal artery originating above celiac axis.	Sueyoshi E	放射線科
Circulation	Lung perfusion blood volume computed tomographic images of pulmonary embolism: before and after thrombolysis.	Sueyoshi E	放射線科
Dement geriatr cogn disord	Familial creutzfeldt-jakob disease with a v180I mutation: comparative analysis with pathological findings and diffusion-weighted images.	Mutsukura K	放射線科
Abdom Imaging	Endovascular repair of inflammatory abdominal aortic aneurysm: serial changes of periaortic fibrosis demonstrated by CT.	Sueyoshi E	放射線科
Comput Med Imaging Graph	Quantification of enhancement of left ventricular myocardium in patients with dilated cardiomyopathy using delayed enhanced MR imaging.	Sueyoshi E	放射線科
Neurol Res	Long-term follow-up of endovascular coil embolization for cerebral aneurysms using three-dimensional time-of-flight magnetic resonance angiography.	Hayashi K	放射線科
Ann Thorac Surg	Growth rate of affected aorta in patients with type B partially closed aortic dissection.	Sueyoshi E	放射線科
Eur J Radiol	Metastasizing pleomorphic adenoma of the submandibular gland with metastasis to the lung and sternum: CT and MR imaging findings.	Yamaguchi T	放射線科
J Thorac Imaging	Localized ground glass opacities with multiple pulmonary small cysts in adult T-cell leukemia or lymphoma: an "ally wheel" appearance.	Sakashita A	放射線科

J Thorac Imaging	A case of migrated thoracolithiasis.	Tsuchiya T	放射線科
Brit J Radiol	Myocardial delayed contrast-enhanced MRI: relationships between various enhancing patterns and myocardial diseases.	Sueyoshi E	放射線科
Gynecologic and Obstetric Investigation	Toll-Like Receptors in Innate Immunity :Role of Bacterial Endotoxin and Toll-Like Receptor 4 in Endometrium and Endometriosis.	Khan K	産科婦人科
Acta Histochem Cytochem	Human Papillomavirus Infection and Its Possible Correlation with p63 Expression in Cervical Cancer in Japan, Mongolia, and Myanmar	Shirendeb U	産科婦人科
Am J Med Genet A	A locus for ophthalmic-acromelic syndrome mapped to 10p11.23.	Hamanoue H	産科婦人科
Cardiovasc Drugs Ther	Pharmacological preconditioning in type 2 diabetic rat hearts: the roles of mitochondrial ATP-sensitive potassium channels and the phosphatidylinositol 3-kinase-Akt pathway.	Matsumoto S	麻酔科
J Anesth	Effects of amitriptyline, a tricyclic antidepressant, on smooth muscle reactivity in isolated rat trachea.	Matsunaga S	麻酔科
J Anesth	Anesthetic management of a patient with a double inferior vena cava and pulmonary alveolar proteinosis who underwent bilateral living donor lobar lung transplantation.	Murata H	麻酔科
J Anesth	Increased fingertip vascular tone leads to a greater fall in blood pressure after induction of general anesthesia.	Sakai K	麻酔科
J Anesth	Postoperative analgesic effect of preoperative intravenous flurbiprofen in arthroscopic rotator cuff repair.	Takada M	麻酔科
Eur J Anaesthesiol	Landirolol, a new ultra-short-acting beta1-blocker, reduces anaesthetic requirement during sevoflurane/N2O/fentanyl anaesthesia in surgical patients.	Tanabe T	麻酔科
J Pharmacol Sci.	Presence of GABA(B) receptors forming heterodimers with GABA(B1) and GABA(B2) subunits in human lower esophageal sphincter.	Torashima Y	麻酔科
J Anesth	Postoperative analgesia with minidose intrathecal morphine for bipolar hip prosthesis in extremely elderly patients.	Yamashita K	麻酔科

計13

(注) 1 当該医療機関に所属する医師等が、掲載に当たって内容審査を行っている雑誌に研究成果を原著論文として申請の前年度に発表したもののうち、高度の医療技術の開発および評価に資するものと判断されるものを100件以上記入すること(当該医療機関に所属する医師等が主たる研究者であるものに限る。)

2 「発表者氏名」欄は、1つの論文発表について発表者が複数いる場合は、主たる発表者の氏名を記入すること。

(様式第 12)

診療並びに病院の管理及び運営に関する諸記録の管理方法

管理責任者氏名	病院長 河野 茂
管理担当者氏名	放射線部長 上谷 雅孝 薬剤部長 佐々木 均 総務課長 山口 一利 医事課長 坂井光太郎

	保管場所	管理方法
診療に関する諸記録 病院日誌、各科診療日誌、処方せん、手術記録、看護記録、検査所見記録、エックス線写真、紹介状、退院した患者に係る入院期間中の診療経過の要約及び入院診療計画書	各診療科	病院日誌は総務課、処方せんは薬剤部、エックス線写真は放射線部、その他は各診療科で保存
病院の管理及び運営に関する諸記録	従業者数を明らかにする帳簿	総務課
	高度の医療の提供の実績	医事課
	高度の医療技術の開発及び評価の実績	医事課
	高度の医療の研修の実績	総務課
	閲覧実績	総務課、医事課
	紹介患者に対する医療提供の実績	医事課
第規一則号第一に掲げる十の確保各号及び第九の二十三第一項	入院患者数、外来患者及び調剤の数を明らかにする帳簿	医事課 薬剤部
	医療に係る安全管理のための指針の整備状況	患者サービス課
	医療に係る安全管理のための委員会の開催状況	患者サービス課
	医療に係る安全管理のための職員研修の実施状況	患者サービス課
	医療機関内における事故報告等の医療に係る安全の確保を目的とした改善のための方策の状況	患者サービス課
	専任の医療に係る安全管理を行う者の配置状況	患者サービス課
	専任の院内感染対策を行う者の配置状況	総務課
	医療に係る安全管理を行う部門の設置状況	患者サービス課
	当該病院内に患者からの安全管理に係る相談に適切に応じる体制の確保状況	患者サービス課

		保管場所	分類方法
病院の管理及び運営に関する諸記録	規則第一条の十一第一項各号及び第九条の二十三第一項第一号に掲げる体制の確保の状況	院内感染のための指針の策定状況	感染制御教育センター、総務課
		院内感染対策のための委員会の開催状況	感染制御教育センター、総務課
		従業者に対する院内感染対策のための研修の実施状況	感染制御教育センター、総務課
		感染症の発生状況の報告その他の院内感染対策の推進を目的とした改善のための方策の実施状況	感染制御教育センター
		医薬品の使用に係る安全な管理のための責任者の配置状況	薬剤部
		従業者に対する医薬品の安全使用のための研修の実施状況	薬剤部
		医薬品の安全使用のための業務に関する手順書の作成及び当該手順書に基づく業務の実施状況	薬剤部
		医薬品の安全使用のために必要となる情報の収集その他の医薬品の安全使用を目的とした改善のための方策の実施状況	薬剤部
		医療機器の安全使用のための責任者の配置状況	ME機器センター
		従業者に対する医療機器の安全使用のための研修の実施状況	ME機器センター
医療機器の保守点検に関する計画の策定及び保守点検の実施状況	ME機器センター		
医療機器の安全使用のために必要となる情報の収集その他の医療機器の安全使用を目的とした改善のための方策の実施状況	ME機器センター		

(注) 「診療に関する諸記録」欄には、個々の記録について記入する必要はなく、全体としての管理方法の概略を記入すること。

(様式第 13)

病院の管理及び運営に関する諸記録の閲覧方法及び紹介患者に対する医療提供の実績

○病院の管理及び運営に関する諸記録の閲覧方法

閲覧責任者氏名	丸野 和年
閲覧担当者氏名	山口 一利
閲覧の求めに応じる場所	総務課

○病院の管理及び運営に関する諸記録の閲覧の実績

前年度の総閲覧件数	延	0件
閲覧者別	医師	延 件
	歯科医師	延 件
	国	延 件
	地方公共団体	延 件

○紹介患者に対する医療提供の実績

紹介率	81.1 %	算定期間	平成21年4月1日～平成22年3月31日
算出根拠	A：紹介患者の数		13,820人
	B：他の病院又は診療所に紹介した患者の数		15,027人
	C：救急用自動車によって搬入された患者の数		1,606人
	D：初診の患者の数		22,480人

(注) 1 「紹介率」欄は、A、B、Cの和をBとDの和で除した数に100を乗じて小数点以下第1位まで記入すること。

2 A、B、C、Dは、それぞれの延数を記入すること。

(様式第 13-2)

規則第 1 条の 1 1 第 1 項各号及び第 9 条の 2 3 第 1 項第 1 号に掲げる体制の確保の状況

① 医療に係る安全管理のための指針の整備状況	有・無
・ 指針の主な内容： ○医療安全管理に関する基本的考え方 ○医療事故防止委員会及びその他の組織に関する基本的事項 ○医療安全管理のための職員研修に関する基本方針 ○事故報告等の医療に係る安全の確保を目的とした改善のための方策に関する基本方針 ○医療事故発生時の対応に関する基本方針 ○医療従事者と患者との間の情報の共有に関する基本方針 ○患者等からの相談への対応に関する基本方針 ○その他医療安全の推進のために必要な基本方針	
② 医療に係る安全管理のための委員会の開催状況	年 3 6 回
・ 活動の主な内容： ○医療事故防止委員会 (月 1 回開催) ・院内インシデント・アクシデント報告等情報収集 ・医療事故防止のための具体的対策等の検討及び推進 ・医療事故防止のための教育及び研修等の決定 ○安全管理部会 ・安全管理に関する事項の報告 (月 1 回開催) ○リスクマネージャー会議・インシデント・アクシデントレポートの分析の報告 (月 1 回開催)	
③ 医療に係る安全管理のための職員研修の実施状況	年 7 回
・ 研修の主な内容：別紙のとおり	
④ 医療機関内における事故報告等の医療に係る安全の確保を目的とした改善のための方策の状況	
・ 医療機関内における事故報告等の整備 (有・無) ・ その他の改善のための方策の主な内容：別紙のとおり	
⑤ 専任の医療に係る安全管理を行う者の配置状況	有 (3 名) ・ 無
⑥ 専任の院内感染対策を行う者の配置状況	有 (6 名) ・ 無
⑦ 医療に係る安全管理を行う部門の設置状況	有・無
・ 所属職員： 専任 (3) 名 兼任 (1 2) 名 ・ 活動の主な内容： ○医療事故防止委員会の運営支援，○インシデントレポートの分析，○リスクマネージャーとの連絡調整，○安全管理に関する教育・研修，○安全管理に関する情報の収集，○事故等に関する確認と指導	
⑧ 当該病院内に患者からの安全管理に係る相談に適切に応じる体制の確保状況	有・無

院内感染対策のための体制の確保に係る措置

① 院内感染対策のための指針の策定状況	有 無
<p>指針の主な内容： 高度先進医療施設として病院感染対策の重要性をのべ、内規に従って院内感染対策委員会を設置すること、年2回以上の全職員を対象の研修会開催とその記録保持について、病院感染発生把握のために感染制御教育センターにおいて毎日検査部からの「感染情報レポート」解析すること、異常発生時は、感染制御教育センター中心に状況把握・対策を行うこと、感染対策マニュアルの整備と随時改訂、本指針の公開、その他院内感染対策の推進をはかることについて記載している。</p>	
② 院内感染対策のための委員会の開催状況	年 11 回
<p>・ 活動の主な内容： MRSAと耐性菌(MDRP, PRSP, BLNAR, ESBL, metallo-beta lactamase)の発生動向、抗菌薬の使用状況(特にカルバペネム、抗MRSA薬)、針刺しの発生状況、感染症科へのコンサルテーション状況、手指衛生の実施状況などのサーベイランス結果を報告し、その他の院内感染発生状況を報告するとともに、これらに対する対応について協議し、病院長のイニシアチブの元速やかに対応に当たっている。</p>	
③ 従業者に対する院内感染対策のための研修の実施状況	年 6-8 回
<p>・ 研修の主な内容：各テーマで年3回の講習会を行い、それぞれ2-3回開催(院内講師の場合同じ内容を繰り返し、院外講師の場合ビデオ撮影してその上映)して多くのスタッフが研修に参加するよう努力している。内容としては、感染対策指針をはじめとした当院のルールやマニュアルの周知、手指消毒や標準予防策の励行、周術期感染症対策、適正な感染性廃棄物処理方法、新型インフルエンザ感染対策などについて行ってきた。</p>	
④ 感染症の発生状況の報告その他の院内感染対策の推進を目的とした改善のための方策の状況	<p>・ 病院における発生状況の報告等の整備 (有 無) ・ その他の改善のための方策の主な内容： 院内感染対策委員会および感染対策チーム(ICT)の中核である感染制御教育センターを中心に、発生状況をモニターし、問題がある場合は速やかにICT、感染対策委員会に報告するとともに対策を講じている。具体的には毎日微生物検査室から微生物検査の発生状況の報告(感染情報レポート)を受け、週に1回は抗菌薬の使用状況も検討し、それに応じてほぼ毎日現場に赴き対策を講じている。</p>

(様式第 13-2)

医薬品に係る安全管理のための体制の確保に係る措置

① 医薬品の使用に係る安全な管理のための責任者の配置状況	有・無
② 従業者に対する医薬品の安全使用のための研修の実施状況	年 1回
・ 研修の主な内容： 注射薬の安全使用のための基礎知識	
③ 医薬品の安全使用のための業務に関する手順書の作成及び当該手順書に基づく業務の実施状況	
・ 手順書の作成 (有・無) ・ 業務の主な内容： 病棟救急カート薬剤の定期的な数量および使用期限の確認 医薬品の採用・購入について薬事審議会での審議、採用薬の定期的なチェック ハイリスク薬について薬剤部・病棟などで管理手順を作り、チェックリストによる定期的なチェック	
④ 医薬品の安全使用のために必要となる情報の収集その他の医薬品の安全使用を目的とした改善のための方策の実施状況	
・ 医薬品に係る情報の収集の整備 (有・無) ・ その他の改善のための方策の主な内容： 抗悪性腫瘍薬は定数配置しない。 一般病棟において、ワンショット可能な高濃度カリウム注射剤を定数配置しない。	

医療機器に係る安全管理のための体制の確保に係る措置

① 医療機器の安全使用のための責任者の配置状況	有・無
② 従業者に対する医療機器の安全使用のための研修の実施状況	年 4 2 回
・ 研修の主な内容：有効性・安全性に関する事項、使用方法に関する事項、保守点検に関する事項、不具合が発生した場合の対応に関する事項、使用に関して特に法令上遵守すべき事項など	
③ 医療機器の保守点検に関する計画の策定及び保守点検の実施状況	
・ 計画の策定 (有・無) ・ 保守点検の主な内容：メーカーが推奨する性能試験、電気的安全試験などを実施	
④ 医療機器の安全使用のために必要となる情報の収集その他の医療機器の安全使用を目的とした改善のための方策の実施状況	
・ 医療機器に係る情報の収集の整備 (有・無) ・ その他の改善のための方策の主な内容：日本医療機能評価機構やPMDAなどからの情報を収集し、RMニュースとして各リスクマネージャーへ周知している。また、ME機器センターホームページへも掲載している。機器の取扱説明書や添付文書を院内どこからでも閲覧可能としている。	